

رفتار تحت بار و فاز شناسی سیمهای ارتدنسی از جنس آلیاژ سوپرالاستیک نیکل - تیتانیم

سید خطیب‌الاسلام صدرنژاد^{۱*}، سعید قریشی^۲، امیر حسین توابی^۳
و نسیم بخشیزاده^۴

*تهران - خیابان آزادی - دانشگاه صنعتی شریف - دانشکده مهندسی و علم مواد

قطب تحقیقات مواد پیشرفته - تلفن: ۶۱۶۵۲۱۵ دورنگار: ۶۰۰۵۷۱۷

۱، ۳ و ۴ - دانشگاه صنعتی شریف و ۲ - دانشگاه علوم پزشکی مشهد

sadrnezh@yahoo.com

چکیده

ویژگی اصلی مورد نیاز برای سیمهای ارتدنسی اعمال نیروی ثابت و پایدار در طول مراحل درمان می‌باشد. آلیاژهای سوپرالاستیک نیکل - تیتانیوم (نایتینول) با توجه به خواص مکانیکی مطلوب مانند استحکام، سفتی، شکل پذیری، قابلیت جوش و قابلیت لحیم، مناسبترین گزینه برای کاربرد گستردۀ در ارتدنسی می‌باشند. از این رو شایسته است که با بررسی رفتار و خصوصیات سیمهای نایتینول، شناخت بهتری از کارکرد و تفاوت‌های موجود بین انواع آنها بدست آید. در این تحقیق، ابتدا رفتار خمشی سیمهای سوپرالاستیک نیکل - تیتانیوم متداول در کاربردهای ارتدنسی بررسی شده و با یکدیگر مقایسه می‌گردد. سپس عملیات متالوگرافی و آنلیل کاری برای بررسی تغییرات ساختاری و تحلیل خواص مکانیکی و عملکرد سیمهای با توجه به استحاله های مارتزیتی - آستنتیتی انجام می‌شود. نتایج نشان می‌دهد که بر عکس نمونه های حافظه دار، اعمال تنش ناشی از انجام آزمایش خمش تاثیری بر مورفلوژی نمونه های سوپرالاستیک قبل و بعد از آنلیل کردن ندارد.

واژه‌های کلیدی: سیم - ارتدنسی - سوپرالاستیک - نایتینول - خمش - متالوگرافی

[۲۱]

مقدمه

هر دو رفتار سوپرالاستیسیته و حافظه‌داری برمبنای یک استحاله مارتزیتی - آستنتیتی بروز می‌کند [۲]. خاصیت سوپرالاستیسیته در آلیاژهای نیکل تیتانیوم مربوط به استحاله مارتزیت تحیریک شده توسط تنش^۱ است [۲،۳]. در این مورد خاص، تغییر شکل ماده بواسطه نیروی تنشی

آلیاژهای نیکل تیتانیوم با نام تجاری نایتینول دارای خاصیت سوپرالاستیک و حافظه داری بوده و بواسطه ویژگیهایی نظیر مقاومت در برابر خوردگی عالی، عمر خستگی طولانی و کرنش برگشت پذیر بزرگ، جزء پرکاربردترین مواد هوشمند محسوب می‌شوند. تنها مشکل این مواد، در حال حاضر، قیمت بسیار بالای آنها نسبت به آلیاژهای مشابه نظیر آلیاژهای آهن و مس است

1 - Stress-induced martensite transformation.

درجه حرارتی است که در آن ساختمان سیم بطور کامل مارتنتزیت شده است. دماهای A_f و A_s به ترتیب درجه حرارتهای شروع و خاتمه تشکیل فاز آستینیت می باشند [۸۴].

در دماهای پایین (کمتر از M_f)، آلیاژ بطور کامل متنشکل از فاز مارتنتزیت است. اما با افزایش دما از A_s به A_f ، آلیاژ دچار تحول تشکیل فاز آستینیت می گردد. در دماهای بالاتر از A_f ، آلیاژ بطور کامل بصورت فاز آستینیت است. خاصیت به خاطر سپاری شکل (Shape Memory) به معنای آن است که به سیم در حالی که در فاز آستینیت قرار دارد، شکل خاصی داده می شود. با پایین آوردن دما، سیم به فاز مارتنتزیت تبدیل می شود و به راحتی می توان آن را خم کرده و تغییر شکل داد. زمانی که دما بیشتر از A_f بشود، سیم شکل اولیه خود را که مربوط به فاز one-way آستینیت است، باز می یابد. این خاصیت به نام shape memory effect نامیده می شود. چون در این حالت فقط شکل مربوط به فاز آستینیت به خاطر سپرده شده و با اعمال حرارت قبل بازیابی است [۸۵].

وجود حافظه داری لزوماً به معنای تامین نیروی سبک و مداوم نیست. برای آنکه خاصیت حافظه داری از لحاظ کلینیکی قبل استفاده باشد، لازم است دمای A_f آلیاژ اندکی پایین تر از دمای محیط دهان باشد تا سیم در محیط دهان کاملاً در فاز آستینیت قرار گیرد. از طرفی وقتی آلیاژ کاملاً تبدیل به فاز آستینیت می شود (دماهای بالاتر از A_f)، نمودار تنش - کرنش آن شبیه شکل مربوط به سایر آلیاژها مانند فولاد می شود؛ بطوریکه بین میزان تنش وارده و کرنش ایجاد شده، رابطه ای خطی وجود داشته و آلیاژ فاقد ناحیه تنش ثابت سوپر الستیک خواهد بود. این موضوع بدان معنا است که آلیاژ نیکل تیتانیومی که در دمای پایداری فاز آستینیت قرار دارد، اگر چه نسبت به سایر آلیاژها، الاستیسیته بالاتری دارد ولی فاقد خاصیت سوپر الستیسیته است [۱۰-۸].

در اکثر آلیاژ های ارتدنسی با A_f پایین تر از دمای دهان، فاز آستینیت در شرایط عادی فاز غالب است. در حالیکه درصد اندکی از ساختار آلیاژ را نیز ممکن است فاز مارتنتزیت و حتی فاز R تشکیل داده باشد. از آنجا که آستینیت نسبت به فازهای بینابینی دیگر سختی

و از طریق لغزش و یا حرکت نابجایی نمی باشد. بلکه ساختار آلیاژ از طریق بازآرایی و تغییر مکان جهات مرеж، در اثر اعمال تنش، به مارتنتزیت بدل شده و تغییر شکل ظاهری صورت می گیرد. مقدار تنش حد بحرانی خاصی دارد که بعد از آن دیگر تغییر حالت مربوط به اعمال تنش اتفاق نمی افتد. با حذف نیرو، جهات مارتنتزیت به دلیل تطابقات کریستالوگرافی در همان راستای پیشین قرار گرفته و در اثر انجام استحاله معکوس (مارتنزیت \rightarrow آستینیت) آلیاژ شکل اولیه خود را بازمی یابد [۴].

سیم های ارتدنسی، نیاز به اعمال یک نیروی ثابت، پایدار و همیشگی با نیروی کششی تعریف شده به دندانها دارد. با توجه به امکان اعمال چنین نیرویی توسط سیمهای نیکل - تیتانیوم در هنگام برگشت به حالت اولیه در اثر انجام استحاله معکوس، سیمهای سوبر الستیک نایتینول گرینه بسیار مناسبی برای استفاده در ارتدنسی می باشند [۱۵-۶]. خواص جانبی ایده ال این نوع سیمهای مانند مقاومت به خوردگی عالی و شکل پذیری سرد بسیار مناسب، کار با آنها را بسیار آسان می سازد.

تئوری

با توجه به اینکه تمام سیمهایی که با نام سوبر الستیک عرضه می گردند، به یک شکل عمل نمی کنند، لذا انتخاب آنها برای مصارف بالینی باید تحت معیارهای کنترل شده انجام گیرد. بدین سبب تحقیق حاضر می تواند به عنوان نوعی راهنمای در انتخاب سیم با خصوصیات مکانیکی مناسب بکار گرفته شود.

شبکه سه بعدی آلیاژ نیکل - تیتانیوم در فاز مارتنتزیت می تواند به شکل مکعب مرکزدار یا تتراگونال مرکزدار و در فاز آستینیت می تواند از نوع هگزاگونال با وجود مرکزدار باشد. فاز حد واسطی به نام "فاز آر" R-Phase با ساختمان هگزاگونال ساده نیز در این آلیاژ شناسایی شده است [۷-۱۶].

هر سیم نیکل تیتانیوم دارای دامنه دمایی خاصی است که تغییر فاز در آن دامنه رخ می دهد. دمای M_s اولین درجه حرارتی است که فاز مارتنتزیت شکل می گیرد و دمای M_f

جدول ۱ - مشخصات سیمهای سوپر الستیک آزمایش شده.

نام سیم	کارخانه	آدرس
Nitino I SE	3M UNITEK	2724 South Peck Road, Monrovia CA 91016 U.S.A
Force I	AMERICAN ORTHODONTIC S	1714 Cambridge Avenue Sheboygan Wisconsin P.O. Box 1048, U.S.A
Reflex TP	TP ORTHODONTIC S	Laporte, Ind.

جدول ۲ - زمان حک کردن نمونه ها.

۱۸۰	۱۵۰	۱۲۰	۹۵	۷۱	۶۰	۴۰	۲۵	۱۵	۱۰	۵	t
x	x	x	x	x	x	x	x	x	x	x	۱
x	x	x	x	x	x	x	x	x	x	x	۲
		x	x	x	x	x	x	x	x	x	۳
			x	x	x	x	x	x	x	x	۴

نقشه three bracket bending استفاده شد. سیستم اعمال نیرو مشابه وضعیت حرکت دندان در دهان طراحی شد.

در استاندارد ADA برای بررسی خمش سیم، تست از نوع cantilever است. این روش برای ارزیابی فتریت سیم معمولی قابل قبول است. اما در سیم های دارای خاصیت فتری بالا مانند خاصیت سوپرالاستیک، این روش دقت چندانی ندارد. زیرا در نتیجه افزایش زاویه نمونه، ارزیابی نیرو و خمش با دشواری مواجه می شود. لذا برای رفع این مشکل، ما در این تحقیق از روش خمش سه نقطه (three bracket bending) استفاده کردیم.

وسیله آزمایش مشتمل بر دو نیم استوانه به قطر ۸ میلیمتر بود که به فاصله ۱۵/۵ میلیمتر از یکدیگر بطور افقی قرار داده شده بودند و دو براکت فلزی استاندارد اج وایز سانترال ماگزیلا دارای بیس foilmesh و اندازه slot

بیشتری دارد، لذا ایجاد فاز مارتنتزیت برای پیدایش خاصیت سوپرالاستیک الزامی است. خوشبختانه فاز مارتنتزیت می تواند بدون نیاز به تغییر درجه حرارت و صرفاً از طریق اعمال نیرو ایجاد گردد. خم ش سیم توام با اعمال نیرو بوده و سبب ایجاد یک تغییر فاز مارتنتزیتی Stress Induced Martensite گفته می شود [۱۱و۷].

دماهی Md بالاترین دماهی است که در کمتر از آن، فاز مارتنتزیت می تواند شکل بگیرد. در آلیاژهای آستنیتی، دماهی Md بالاتر از دماهی Af بوده و لذا بالاتر از دماهی محیط دهان است. این موضوع سبب می شود که در مناطقی از سیم که تحت تنفس قرار می گیرد، به دلیل پدیده SIM، فاز مارتنتزیت بوجود آید؛ در حالیکه سیم در سایر نواحی آستنیت باشد. ایجاد مارتنتزیت تحت تنفس برداشته شود، حالت سیم به وضعیت اول یعنی فاز آستنیت بر می گردد.

برای آنکه از خاصیت SIM بنحو احسن استفاده کنیم، بهتر است Af آلیاژ اندکی پایین تر از دماهی محیط دهان باشد. ولی در صورتیکه Af آلیاژ خیلی پایین تر از دماهی محیط دهان باشد، شبکه آلیاژ تمایل زیادی به ماندن در فاز آستنیت داشته و برای ایجاد مارتنتزیت تحت تنفس (SIM) نیاز به انرژی فراوانی خواهد داشت. این نوع آلیاژها را در مواردی که دندانهای بیمار بیش از حد نامرتب بوده و نیاز به اعمال نیروهای بزرگ دارند، باید بکار برد [۱۱]. برای موارد عادی، استفاده از سیمهای دارای دماهی Af اندکی پایین تر از دماهی محیط دهان، مناسب می باشد.

مواد و روش تحقیق

مواد

نمونه های تحقیق شامل ۳ نوع سیم نیکل - تیتانیوم سوپرالاستیک مختلف با مقطع $۰/۴۱\text{mm}^2$ و همگی به صورت فرم داده شده و متعلق به فک بالا بودند (جدول ۱).

تست خمش

برای اندازه گیری نیرو - خمش از روش آزمایش سه

جدول ۳ - نیروی باقی مانده در خمش $.1\text{ mm}$

تعداد	میانگین	حداقل	حداکثر	نام
۵	۷۱/۶	۷۰	۷۳	Nitinol SE
۵	۱۱۷	۱۱۵	۱۱۸	Force I
۵	۱۱۲/۲	۱۱۱	۱۱۳	Reflex TP

جدول ۴ - نیروی باقی مانده در خمش $.1/۵\text{ mm}$

تعداد	میانگین	حداقل	حداکثر	نام
۵	۹۲/۸	۹۱	۹۴	Nitinol SE
۵	۱۵۱/۶	۱۵۱	۱۵۲	Force I
۵	۱۳۹/۶	۱۳۹	۱۴۱	Reflex TP

جدول ۵ - نیروی باقی مانده در خمش $.2\text{ mm}$

تعداد	میانگین	حداقل	حداکثر	نام
۵	۱۱۵/۴	۱۱۴	۱۱۷	Nitinol SE
۵	۱۷۳/۶	۱۷۲	۱۷۵	Force I
۵	۱۵۲/۲	۱۵۱	۱۵۳	Reflex TP

جدول ۶ - نیروی باقی مانده در خمش $.2/۵\text{ mm}$

تعداد	میانگین	حداقل	حداکثر	نام
۵	۱۲۶/۸	۱۲۶	۱۲۷	Nitinol SE
۵	۱۹۶/۴	۱۹۵	۱۹۷	Force I
۵	۱۷۷/۴	۱۹۵	۱۹۷	Reflex TP

جدول ۷ - نیروی لازم برای 3 mm خمش.

تعداد	میانگین	حداقل	حداکثر	نام
۲۰	۱۰۲/۶۵	۷۰	۱۲۷	Nitino I SE
۲۰	۱۵۹/۶۵	۱۱۵	۱۹۷	Force I
۲۰	۱۴۵/۳۵	۱۱۱	۱۷۸	Reflex TP

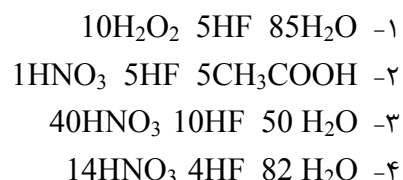
۰/۴۶×۰/۷۶mm توسط چسب superglue روی دو استوانه به نحوی چسبانده شدند که فاصله نقطه میانی براکت ها از یکدیگر ۱۵/۵ میلیمتر بود. این فاصله برگرفته از اندازه نرمال دندان های دائمی ماگزیلای مردان بود. استوانه فوقانی از جنس آلیاژ برنج به قطر ۵ میلیمتر ساخته شد. دقت اندازه گیری در ساخت وسیله اندازه Hounsfield یک دهم میلیمتر بود. از دستگاه H10KS مدل ساخت کشور انگلستان برای انجام تست خمش استفاده شد.

مشخصات آزمایش به صورت زیر تعریف شده و در نرم افزار دستگاه ذخیره شد:

- قطر : ۰/۴۱ میلیمتر
- خمش : تا حد ۳ میلیمتر
- سرعت دستگاه : ۰/۵ میلیمتر بر دقیقه
- پیش بار (preload) : صفر
- طول موثر سیم : ۱۵/۵ میلیمتر

متالوگرافی

برای بررسی ریزساختار سیمهها، ابتدا جفت نمونه هایی از سیمه های کشیده شده و کشیده نشده تهیه شده و سپس در محلولهای زیر حک گردیدند. محلولهای اج :



زمان حک شدن در چندین مرحله به صورت فواصل زمانی قید شده در جدول ۲ بود. نمونه ها سپس ۳ بار به مدت یک ساعت در دماهای 100°C ، 80°C و 135°C به طور بسته آبیل شدند. آنگاه توسط میکروسکوپ نوری انعکاسی PME3 و روش نوارسکی بررسی ساختاری شدند.

بحث و نتیجه گیری

خمش

منحنی های نیرو - خمش بدست آمده از سیمهها در شکلهای ۱، ۲ و ۳ آمده است. هر کدام از منحنی ها، میانگین ۵ تست انجام شده بر یک نوع سیم می باشد. میزان خمش بر حسب میلیمتر روی محور افقی و مقدار

میزان افت نیرو در سیم‌های مختلف متفاوت است، ولی در تمام سیم‌ها، این ناحیه از منحنی بهوضوح قابل رویت است. در انتهای منحنی unloading، برگشت رابطه نیرو و خمش به شکل خطی دوباره مشاهده می‌گردد و تا رسیدن به ناحیه permanent set که در آن نیرویی اعمال نمی‌گردد، ادامه دارد. شب منحنی در ناحیه unloading به میزان برگشت سیم به حالت اولیه بستگی دارد و هر قدر میزان recovery بیشتر باشد، شب unloading نیز کمتر خواهد بود.

شكل منحنی‌ها در حالت کلی حکایت از وجود پدیده سوپرالاستیسیته و تغییر فاز مارتنتزیتی تحت تنفس دارد. اگرچه شکل کلی منحنی‌ها بهم شباهت دارند، ولی میزان اعمال نیرو در ناحیه unloading و شب منحنی‌ها در این ناحیه حاکی از عملکرد غیر یکسان سیم‌ها در شرایط یکسان انجام آزمایش است.

سیم‌ها را بر اساس جداول ۲ تا ۶ به ۲ دسته می‌توان تقسیم کرد:

۱- گروه پرنیرو (heavy force) که نیروی بزرگی را در Force زمان unloading اعمال می‌کنند مانند I و Reflex TP.

۲- گروه کم نیرو (light force) که نیروی کوچکی را در زمان unloading اعمال می‌کنند: مانند Nitinol SE برای تعیین ارتباط خصوصیات مکانیکی با حالات فازی، از روش‌های متداول ساختار شناسی می‌توان کمک گرفت.

متالوگرافی

بعد از زمان طولانی حک کردن (بیش از ۳ دقیقه) توسط محلولهای ۱ و ۲، هیچ گونه تغییری در ریز ساختار مشاهده نشد و عملاً محلولهای مذکور از حوزه برسی ریز ساختاری خارج شدند. با حک کردن (بیش از ۲ دقیقه) توسط محلول شماره ۳، فازهایی در سطح نمونه‌ها ظاهر شد که تقاضت چندانی با فازهای ظاهر شده در نمونه‌های خم نشده نداشتند. تصویرهای ۴ و ۵ مربوط به نمونه‌های به ترتیب Force I و Nitinol SE هستند. تصاویر "الف" نمونه‌های اولیه و "ب" نمونه‌های خمیده شده، می‌باشند. برای درک بهتر و دقیق‌تر وضعیت تغییر فاز، تصاویر سطوح حک شده نمونه‌های سوپرالاستیک با سطوح

نیرو بر حسب نیوتن روی محور عمودی نشان داده شده‌اند. همان‌طور که در شکل‌ها دیده می‌شود، تمام سیم‌ها در خمس خاصی وارد ناحیه نیرو ثابت (plateau) می‌گردند. این مقدار برای هر سیم متفاوت است. آزمایشها نشان می‌دهد که رفتار هر سه سیم با یکدیگر مشابه است؛ ولی مقادیر کرنش و نیرو با یکدیگر فرق دارند.

در هنگام بار برداری، افت تدریجی نیرو از خمس ۲/۵ میلیمتر آغاز شده و تا خمس ۱ میلیمتر با شب تقریباً ثابت ادامه می‌یابد. آگاهی از مقادیر دقیق این نیروها و میزان خمس وابسته، اهمیت فراوانی در برنامه ریزی نحوه استفاده از سیمهای سوپرالاستیک برای کوتاه کردن دوره درمان و افزایش بازدهی عملیات تنظیم فاصله داندنهای با رعایت رفاه حال بیمار و حد اقل صرف وقت پزشک دارد. آگاهی از ارقام مربوط به سیمهای مختلف، انتخاب بهینه ترکیبی از سیمهای ارتدنسی را در هنگام معالجه توسط پزشک آسان می‌سازد.

نیروهای بدست آمده در خمس ۱، ۱/۵، ۲/۵ و ۳ میلیمتری در ناحیه باربرداری در جدولهای ۳ تا ۷ برحسب گرم داده شده است. همان‌طور که مشاهده می‌شود، کمترین نیرو مربوط به سیم Nitinol SE و بیشترین میزان نیرو مربوط به سیم Force I است. همچنین سفتی سیم Force I از سفتی سیم Nitinol SE بیشتر است. این مقادیر برای سیم Reflex TP در مقایسه با دو سیم دیگر در حد وسط قرار دارد.

منحنی‌های بدست آمده از ۳ نوع سیم تست شده در هنگام loading-unloading در خمس ۳ میلیمتر، شکل کلی منحنی‌های سوپرالاستیک را که توسط Burstone در سال ۱۹۸۵ و Miura در سال ۱۹۸۶ loading آزمایش شده بودند دارا هستند [۱۲]. در زمان load-deflection ناحیه plateau بعد از یک ناحیه خطی داشت که در آن نیروی سیم با افزایش بیشتر خمس افزایش زیادی نمی‌یابد و رابطه خطی بین میزان نیرو خمس وجود ندارد. در هنگام برگشت cross-head بعد از خمس ۳ میلیمتر یک افت ناگهانی نیرو در تمام سیم‌ها مشاهده می‌گردد و بعد از آن افت نیرو به میزانی اندک را در ناحیه unloading در سیم‌ها داریم. اگرچه شب این ناحیه و

سری نمونه ها نسبت به نمونه های آزمایش نشده باشد. تنش اضافی می توانست عامل موثری بر افزایش سرعت خوردگی باشد. یکسان بودن ریز ساختار اصلی (تیغه ای) در دو سری نمونه می توانست ناشی از انجام عملیات مکانیکی محدود در هنگام پولیش کردن باشد. تیغه های مشاهده شده با توجه به مطالعات و دانسته های قبلی نشان دهنده ریز ساختار مارتزیت در نمونه بود که تایید کننده باقی ماندن مارتزیت ایجاد شده تحت تنش در جهات کاملاً تصادفی پس از برداشتن نیرو بود. بررسی اثر عملیات آنیلینگ و نیز تدقیق شرایط ظهور و پایداری فاز مارتزیت در نمونه ها، عملیات آنیل کردن در دماهای 80°C و 100°C به مدت یک ساعت در شرایط بسته بر نمونه های حک شده توسط محلول ۴ انجام شد. پس از بررسی متالوگرافی هیچ گونه تغییری در وضعیت سطوح نمونه ها از نظر میزان فاز مارتزیت مشاهده نشد. این موضوع نشانگر ثبت نسبی بخش قابل رویت فاز مارتزیت در سطح نمونه بود که با عملیات آنیل کردن تحت شرایط ذکر شده حذف نمی شد و نیاز به دما و زمان آنیل کردن فراتر و یا عملیات برگشت تحت نیروی متقابل را داشت.

مراجع:

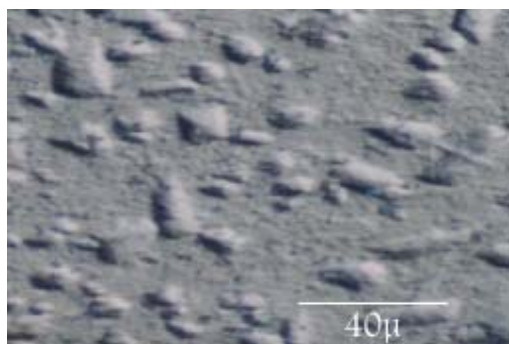
1. Kazuhiro Otsuka, Xiaobing Ren "Recent Developments in the Research of Shape Memory Alloys", *Intermetallics* 7, (1999), 511-528.
2. S. Miyazaki, A. Ishida, "Martensitic Transformation and Shape Memory Behavior in Sputter-Deposited TiNi-Base Thin Films", *Materials Science and Engineering*, A273-275, (1999) 106–133.
3. L. Orgeáas and D. Favier, "Stress-Induced Martensitic Transformation of A NiTi Alloy in Isothermal Shear, Tension and Compression", *Acta Mater.*, Vol. 46, No. 15, (1998), 5579-5591.
4. István Mihálcz, "Fundamental Characteristics and Design Method for Nickel-Titanium Shape Memory Alloy", *Periodica Polytechnica Ser. Mech. Eng.*, Vol. 45, No. 1, (2001), 75–86.
5. C. Hurst, M. Duncanson, R. Nanda and P. Angolkar, "An Evaluation of the Shape Memory Phenomena of Nickel-Titanium Orthodontic Wires", *Am. J. Orthod.*, (1990), 98, 72-76.
6. Khier S. Brantley W.Fournelle R. Bendig "properties of superelastic and non superelastic

نمونه های مشابه ولی حافظه دار مقایسه شد. تفاوت قابل توجهی بین این تصاویر وجود داشت. به این ترتیب که در نمونه های حافظه دار، تیغه های مارتزیت در سطح دیده می شد که پس از اعمال نیرو و باربرداری علائم تغییر ساختار و ریز شدن دانه از خود بروز می دادند؛ اما سطوح خارجی نمونه های سوپرالاستیک ظاهرا حالت آستنتیتی قبل خود را حفظ کرده و در اثر خمش تغییر اساسی در آنها مشاهده نمی شد. این تغییرات بویژه وقتی که نمونه های حافظه دار تحت عملیات آنیلینگ قرار می گرفتند بشدت خود نمایی می کرد در حالیکه عملیات آنیلینگ تاثیر قابل توجهی بر ریز ساختار نمونه های سوپرالاستیک نداشت.

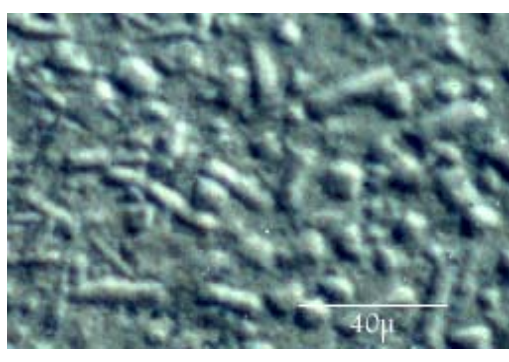
از ریز شدن تیغه های مارتزیت مشخص شد که حضور تنشهای سطحی در نمونه های حافظه دار خم شده، فرایند بازیابی و تبلور مجدد را تحت تاثیر قرار داده و تغییراتی را در ساختار آلیاژ های نایتینول حافظه دار پدید می آورند؛ ولی در آلیاژ های سوپرالاستیک، به علت موقت بودن تشکیل مارتزیت تحت تنش که پس از برداشتن نیرو خنثی می شود، این تغییرات حتی در اثر عملیات حرارتی نیز پدید نمی آید، کاربرد مجدد آلیاژ ها حتی در شرایطی که نیاز به استرلیزاسیون حرارتی (Sterlization) هست، نیز امکان پذیر به نظر می رسد.

بعد از ۷۰ ثانیه حک کردن در محلول شماره ۴، ساختار تیغه ای با دانه بندی ریز که تیغه ها در تمام طول دانه امتداد یافته اند در بخشی از نمونه ها که ساختار مارتزیت تحت تنش خود را حذف کرده بودند، مشاهده شد. نکته قابل توجه، حفره دار شدن (Pitting) بسیار شدید این نمونه ها بود که از همان زمانهای آغازین حک کردن (حدود ۱۰ تا ۱۵ ثانیه) شروع شده و با طولانی تر شدن زمان حک کردن بر میزان و وسعت این حفره ها افزوده می شد. البته در این مورد، نمونه های کشیده شده و کشیده نشده، تفاوت چندانی نداشتند و از لحاظ دانه بندی و ضخامت دانه ها تا حد زیادی مشابه هم بودند. اما در نمونه های کشیده شده، به نظر می رسید که تعداد حفره ها به میزان کمی افزایش یافته و خصوصاً پهنا و احتمالاً عمق آنها نیز افزایش یافته است. بنظر می رسید که این امر ناشی از وجود تنش بیشتر ناشی از عملیات خمش در این

- Properties of Several Nickel-Titanium Alloy Wires in Three Point Bending Test", *Am. J. Orthod.*, (1999), 115, 390-395.
10. W. Brantley and T. Eliades, "Orthodontic Material", 1 Ed., New York, (2001), 90.
11. T. Meling and J. Odegaard, "The Effect of Short-Term Temperature Changes on Superelastic Nickel-Titanium Archwire Activated in Orthodontic Bending", *Am. J. Orthod.*, (2001), 119, 263-273.
- nickel-titanium orthodontic wires". *Am. J. Orthod.* 1991;99:310-18
7. R. Liu and D.Y. Li, "Indentation Behavior of Pseudoelastic TiNi Alloy", *Scripta Materialia*, Vol. 41, No. 7, (1999), 691-696.
8. Manfred Wuttig, Yun Zheng, J.S. Slutsker, Kiyotaka Mori and Quanmin Su, "Stress Induced Martensite in NiTi Corrugated Films", *Scripta Materialia*, Vol. 41, No. 5, (1999), 529-533.
9. H. Nakano, S. Kazoro, et al., "Mechanical

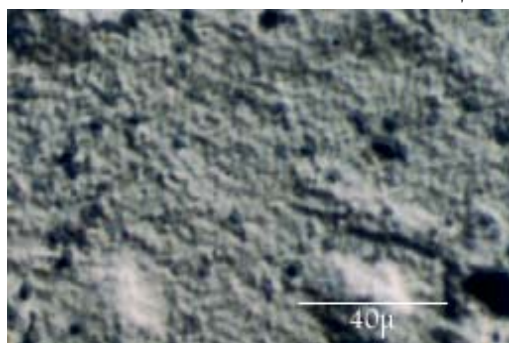


(الف)

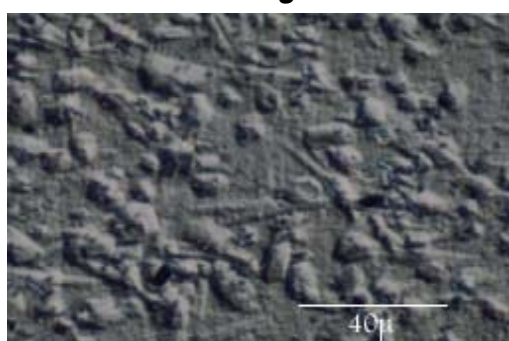


(ب)

شکل ۴ - فاز های ظاهر شده در نمونه (الف) خم نشده و
(ب) خم شده Nitinol SE



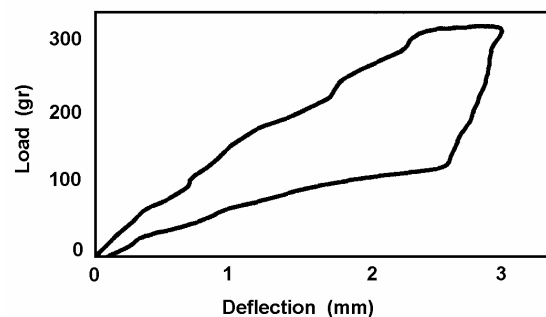
شکل ۵ (الف)



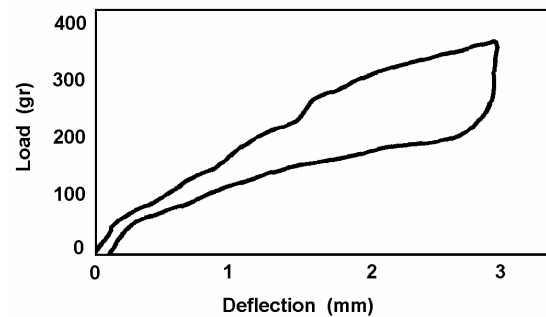
شکل ۵ (ب)

شکل ۵ - فاز های ظاهر شده در نمونه (الف) خم نشده و
(ب) خم شده نمونه Force I

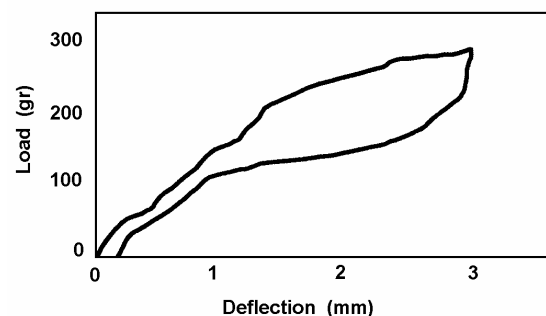
12. C. Qin, B. Morton and J. Chinese, "NiTi Wire: A New Orthodontic Alloy", *Am. J Orthod.*, (1985), 87, 445-452.



شکل ۱- منحنی نیرو - خمش برای نمونه
Nitinol .SE



شکل ۲- منحنی نیرو - خمش برای نمونه Force I



11th Iranian Conference on Biomedical Engineering (ICBM 2004)

Mechanical Behavior and Phase Characteristics of the Ni-Ti Orthodontic Superelastic Wires

S. K. Sadrnezhaad¹, S. Ghorashi², A. H. Tavabi³ and N. Bakhshizadeh⁴

^{1,3,4}Department of Materials Science and Engineering

Sharif University of Technology

² Faculty of Dentistry, Mashhad University of Medical Science

Abstract

A good orthodontic wire is one that can exert a continuing constant force during clinical treatment of the teeth. Ni-Ti (Nitinol) wires are desirable because they can produce an almost constant force together with such desirable properties as strength, stiffness, formability, weldability and capability to be soldered. It is therefore appropriate to investigate the Ni-Ti mechanical and metallographic properties in order to understand their actual behavior under clinical treatment as compared to those of the other popular orthodontic wires. In this research, we have first determined the loading-unloading curves of a number of superelastic Ni-Ti wires by three-bracket-bending method and then compared their behavior to introduce the most suitable one with respect to the specific clinical application. Structural studies revealed that the low-temperature application of stress during loading-unloading tests does not affect the morphology of the superelastic specimens, while this seemed reverse in the shape memory NiTi wires.

Key Words: Wire, Orthodontic, Superelastic, Nitinol, Bending, Metalography